

01;03;04

## Расчет электрического потенциала и силы Лоренца, действующей на поток в локально ионизованном магнитогидродинамическом течении в неоднородном магнитном поле

© Е.Г. Шейкин

Санкт-Петербургский государственный университет,  
198904 Санкт-Петербург, Россия  
e-mail: egsh@pochta.ru

(Поступило в Редакцию 28 марта 2008 г.)

Найдено аналитическое решение электродинамических уравнений для электрического потенциала в локально ионизованном магнитогидродинамическом (МГД) течении в неоднородном магнитном поле, создаваемом прямолинейным проводником. Получены аналитические формулы для расчета объемной плотности силы Лоренца и интегральной силы Лоренца, действующей на поток в локально ионизованном МГД-течении. Показано, что МГД-воздействие на локально ионизованный поток в неоднородном магнитном поле может быть использовано для управления как подъемной силой, так и отношением подъемной силы к силе сопротивления.

PACS: 52.30.Cv, 47.85.L-

### Введение

В настоящее время в литературе большое внимание уделяется изучению магнитогидродинамического (МГД) воздействия на поток с целью управления его характеристиками [1–16]. Изучаются возможности управления: потоком в воздухозаборнике летательного аппарата, процессами смешения потоков, процессами в двигателе высокоскоростного летательного аппарата, положением головной ударной волны, тепловыми потоками на обтекаемую поверхность. В большом числе указанных МГД-приложений равновесная проводимость потока пренебрежимо мала, и для осуществления МГД-воздействия на поток необходимо тем или иным способом создать в потоке неравновесную проводимость [4,6,8,17]. При этом поток будет локально ионизован.

Геометрия области неравновесной ионизации зависит от способа ионизации потока и от конфигурации магнитного поля. В большинстве рассматриваемых МГД-приложений магнитное поле будет неоднородным. Для расчета МГД-воздействия на локально ионизованный поток в неоднородном магнитном поле необходимо решать систему МГД-уравнений совместно с электродинамическими уравнениями, определяющими распределение потенциала в области МГД-взаимодействия.

Иногда для описания МГД течений в неоднородном магнитном поле используется приближение идеально секционированного фарадеевского МГД-канала [8,12], что существенно облегчает решение задачи, исключая необходимость решения электродинамических уравнений. Но в работе [18] показано, что приближение идеально секционированного фарадеевского МГД-канала неприменимо для описания МГД-воздействия на поток в неоднородном магнитном поле. Погрешности расчета

силы Лоренца с использованием указанного приближения оценены в работе [19] для МГД-течения в неоднородном магнитном поле, создаваемом прямолинейным проводником.

В настоящей работе будет получено аналитическое решение электродинамических уравнений для электрического потенциала в локально ионизованном МГД-течении в неоднородном магнитном поле, создаваемом прямолинейным проводником, и проведен анализ особенностей МГД-воздействия на локально ионизованный поток в рассматриваемом неоднородном магнитном поле.

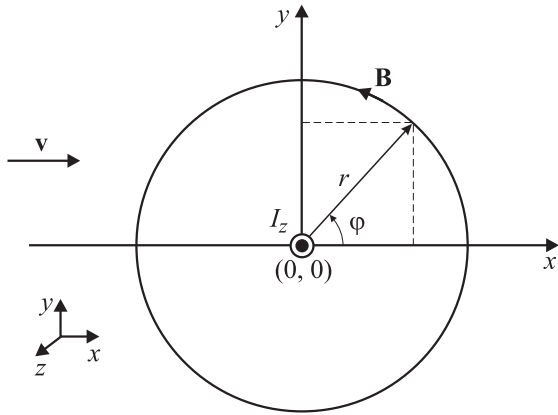
### Уравнение для электрического потенциала в локально ионизованном МГД-течении в неоднородном магнитном поле

Для нахождения пространственного распределения электрического потенциала в области МГД-течения необходимо решить уравнение непрерывности для плотности электрического тока в плазме  $\mathbf{j}$  совместно с обобщенным законом Ома [20]. Рассмотрим стационарное МГД-течение. Уравнение непрерывности для электрического тока и обобщенный закон Ома запишем в следующем виде [20]:

$$\operatorname{div} \mathbf{j} = 0, \quad (1a)$$

$$\mathbf{j} + \mu_e (\mathbf{j} \times \mathbf{B}) = \sigma (\mathbf{E} + \mathbf{v} \times \mathbf{B}), \quad (1b)$$

где  $\mathbf{B}$  — магнитная индукция,  $\mathbf{E}$  — электрическое поле,  $\mathbf{v}$  — скорость потока,  $\mu_e$  — подвижность электронов,  $\sigma$  — проводимость потока. В качестве неоднородного



**Рис. 1.** Геометрия, используемая для нахождения электрического потенциала в МГД-течении в неоднородном магнитном поле, создаваемом прямолинейным током  $I_z$ .

магнитного поля будем рассматривать поле, создаваемое прямолинейным проводником. Геометрия задачи и основные обозначения показаны на рис. 1.

Рассматривается двумерное приближение, в котором характеристики МГД-течения, электрического и магнитного поля, а также токи в плазме не зависят от координаты  $z$ . Магнитное поле создается прямолинейным проводником, направленным вдоль оси  $z$  и проходящим через центр координаты в точке  $(0,0)$ . Ограничимся рассмотрением режимов с малым значением магнитного числа Рейнольдса. В этом случае магнитное поле, индуцируемое плазменными токами, много меньше внешнего магнитного поля, и индуцированным магнитным полем можно пренебречь при расчетах магнитного поля в потоке. В рассматриваемом приближении зависимость величины магнитной индукции от радиуса может быть определена следующим соотношением:  $B = B_0 r_0 / r$ . Величина  $B_0$  магнитной индукции на расстоянии  $r_0$  от центра координат определяется величиной тока  $I_z$  в проводнике, создающем магнитное поле. В декартовой системе координат проекции вектора магнитной индукции на координатные оси определяются следующим образом:

$$\begin{aligned} B_x &= -B_0 r_0 y / (x^2 + y^2), \\ B_y &= B_0 r_0 x / (x^2 + y^2), \quad B_z = 0. \end{aligned} \quad (2a)$$

Для решения электродинамической задачи удобнее использовать цилиндрическую систему координат, в которой магнитное поле имеет более простой вид:

$$B_r = 0, \quad B_\phi = B_0 \frac{r_0}{r}, \quad B_z = 0. \quad (2b)$$

Используя уравнения (1b) и (2b), нетрудно получить выражения для проекций плотности тока в плазме в цилиндрической системе координат через характеристики плазмы, электрического и магнитного полей в

следующем виде:

$$\begin{aligned} j_r &= \frac{\sigma B_0 r_0 r \left( \frac{r E_r}{r_0 B_0} + \beta_0 \frac{r_0}{r} v_r + \mu_e E_z \right)}{r^2 + \beta_0^2 r_0^2}, \quad j_\phi = \sigma E_\phi, \\ j_z &= \frac{\sigma B_0 r_0 r \left( \frac{E_z}{B_0} \frac{r}{r_0} - \mu_e E_r + v_r \right)}{r^2 + \beta_0^2 r_0^2}, \end{aligned} \quad (3)$$

где  $\beta_0 = \mu_e B_0$  — характерное значение параметра Холла.

Уравнение непрерывности (1a) в цилиндрической системе координат в рассматриваемом двумерном приближении выглядит следующим образом:

$$\operatorname{div} \mathbf{j} = \frac{1}{r} \left( \frac{\partial}{\partial r} (r j_r) + \frac{\partial j_\phi}{\partial \phi} \right) = 0. \quad (4)$$

Уравнение для электрического потенциала  $\Phi$  может быть получено подстановкой (3) в уравнение непрерывности (4) при  $\mathbf{E} = -\operatorname{grad} \Phi$ .

При выводе уравнения для потенциала ограничимся рассмотрением приближения постоянной проводимости потока и подвижности электронов в области МГД-взаимодействия. Также ограничимся рассмотрением слабого уровня МГД-воздействия на поток, при котором можно пренебречь влиянием изменения параметров течения на формирование потенциала в области МГД-взаимодействия.

Напомним, что в рассматриваемой модели параметры электрического поля не зависят от координаты  $z$ , что с помощью уравнения Максвелла  $\operatorname{rot} \mathbf{E} = 0$  приводит к следующим условиям, накладываемым на проекцию электрического поля  $E_z$ :  $\partial E_z / \partial r = \partial E_z / \partial \phi = 0$ . Данные условия, очевидно, свидетельствуют о постоянстве поля  $E_z$ . В этом случае потенциал в цилиндрической системе координат может быть записан в следующем виде:  $\Phi(r, \phi, z) = \Phi(r, \phi) + C - E_z z$ , где  $C$  — неопределенная константа.

Подставив уравнения (3) в (4), с учетом вышесказанных приближений, получим следующее дифференциальное уравнение в частных производных для потенциала  $\Phi(r, \phi)$ :

$$\begin{aligned} (r^2 + \beta_0^2 r_0^2)^2 \frac{\partial^2 \Phi}{\partial \phi^2} + r^4 (r^2 + \beta_0^2 r_0^2) \frac{\partial^2 \Phi}{\partial r^2} \\ + r^3 (r^2 + 3\beta_0^2 r_0^2) \frac{\partial \Phi}{\partial r} + r (r^2 - \beta_0^2 r_0^2) v_r \frac{\beta_0^2 r_0^2}{\mu_e} \\ - 2r^2 \beta_0^3 r_0^3 E_z = 0. \end{aligned} \quad (5)$$

В рассматриваемой задаче скорость течения целесообразно выражать через компоненты скорости в декартовой системе координат, поэтому в дальнейшем вместо радиальной проекции вектора скорости  $v_r$  будем использовать ее представление через компоненты скорости  $v_x$  и  $v_y$  в виде  $v_r = v_x \cos \phi + v_y \sin \phi$ . Для нахождения решения неоднородного дифференциального уравнения

в частных производных (5) вначале найдем общее решение однородного уравнения относительно функции  $\Phi_0(r, \varphi)$ , имеющего следующий вид:

$$(r^2 + \beta_0^2 r_0^2)^2 \frac{\partial^2 \Phi_0}{\partial \varphi^2} + r^4 (r^2 + \beta_0^2 r_0^2) \frac{\partial^2 \Phi_0}{\partial r^2} + r^3 (r^2 + 3\beta_0^2 r_0^2) \frac{\partial \Phi_0}{\partial r} = 0. \quad (6)$$

Для решения уравнения (6) используем метод разделения переменных, представляя искомую функцию в виде произведения  $\Phi_0(r, \varphi) = R(r)\Psi(\varphi)$ . В качестве константы разделения выберем  $-k^2$ . В результате получим следующую систему уравнений для функций  $R_k(r)$  и  $\Psi_k(\varphi)$ :

$$\frac{d^2 \Psi_k}{d\varphi^2} + k^2 \Psi_k = 0, \quad (7)$$

$$\frac{d^2 R_k}{dr^2} + \frac{r^2 + 3\beta_0^2 r_0^2}{r(r^2 + \beta_0^2 r_0^2)} \frac{dR_k}{dr} - k^2 \frac{r^2 + \beta_0^2 r_0^2}{r^4} R_k = 0. \quad (8)$$

Очевидно, что решением уравнения (7) является линейная комбинация функций  $\cos k\varphi$  и  $\sin k\varphi$ . Для упрощения уравнения (8) введем новую переменную  $\xi = \beta_0 r_0 / r$  и, используя очевидные преобразования, получим следующее уравнение для функции  $R_k(\xi)$ :

$$\xi^2 \frac{d^2 R_k}{d\xi^2} + \xi \frac{1 - \xi^2}{1 + \xi^2} \frac{dR_k}{d\xi} - (k^2 + (k\xi)^2) R_k = 0. \quad (9)$$

Нетрудно заметить, что при  $\xi \rightarrow 0$  уравнение (9) стремится к модифицированному уравнению Бесселя [21]. Это позволяет получить асимптотическое выражение для решения уравнения (9) в виде

$$R_k(\xi) \xrightarrow{\xi \rightarrow 0} C_1^k I_k(k\xi) + C_2^k K_k(k\xi),$$

где  $I_k(x)$  и  $K_k(x)$  — модифицированные функции Бесселя соответственно первого и второго рода. Решив уравнение (9) методом разложения в обобщенный степенной ряд и учитывая известное асимптотическое выражение для решения при  $\xi \rightarrow 0$ , удалось получить общее решение уравнения (9) в следующем виде:

$$R_k(\xi) = C_1^k (I_k(k\xi) + \xi I_{k+1}(k\xi)) + C_2^k (K_k(k\xi) - \xi K_{k+1}(k\xi)). \quad (10)$$

Для удобства записи полученных результатов введем функции  $Z_1$  и  $Z_2$ , заменяющие комбинации модифицированных функций Бесселя в уравнении (10):

$$\begin{aligned} Z_1(k, x) &= I_k(kx) + x I_{k+1}(kx), \\ Z_2(k, x) &= K_k(kx) - x K_{k+1}(kx). \end{aligned} \quad (11)$$

В результате общее решение однородного дифференциального уравнения (6) может быть представлено в следующем виде:

$$\Phi_0(r, \varphi) = \sum_{k=1}^{\infty} R_k(r) \Psi_k(\varphi),$$

где

$$\begin{aligned} R_k(R) &= C_1^k Z_1(k, \beta_0 r_0 / r) + C_2^k Z_2(k, \beta_0 r_0 / r), \\ \Psi_k(\varphi) &= C_3^k \cos k\varphi + C_4^k \sin k\varphi. \end{aligned} \quad (12)$$

Частное решение неоднородного дифференциального уравнения (5) удалось найти в виде

$$\Phi_1(r, \varphi) = \beta_0 r_0 E_z \ln\left(\frac{r}{r_0}\right) - \frac{v_x \cos \varphi + v_y \sin \varphi}{\mu_e} r. \quad (13)$$

Правильность найденного частного решения нетрудно проверить прямой подстановкой (13) в уравнение (5). Таким образом, общее решение неоднородного дифференциального уравнения (5) может быть записано в следующем виде:

$$\begin{aligned} \Phi(r, \varphi) &= \Phi_1 + \Phi_0 = \beta_0 r_0 E_z \ln\left(\frac{r}{r_0}\right) - \frac{v_x \cos \varphi + v_y \sin \varphi}{\mu_e} r + \sum_{k=1}^{\infty} R_k(r) \Psi_k(\varphi), \end{aligned} \quad (14)$$

где функции  $R_k(r)$  и  $\Psi_k(\varphi)$  определяются уравнениями (11), (12).

Для нахождения неопределенных констант  $C_1^k$  в (12) необходимо использовать граничные условия. Решение ищется в области  $r_1 \leq r \leq r_2$ ,  $\varphi_1 \leq \varphi \leq \varphi_2$ . В качестве граничных условий используется обращение в нуль нормального тока на границах плазмы, т.е.  $j_r|_{r=r_1} = j_r|_{r=r_2} = 0$  и  $j_\varphi|_{\varphi=\varphi_1} = j_\varphi|_{\varphi=\varphi_2}$ . Согласно уравнениям (3), требование равенства нулю радиального тока на границах  $r = r_1$ ,  $r = r_2$  приводит к следующему граничному условию для потенциала:

$$\left. \frac{\partial \Phi}{\partial r} \right|_{r=r_1} = \left. \frac{\partial \Phi}{\partial r} \right|_{r=r_2} = \frac{\beta_0^2 r_0^2}{\mu_e r^2} (v_x \cos \varphi + v_y \sin \varphi) + \beta_0 E_z \frac{r_0}{r}. \quad (15)$$

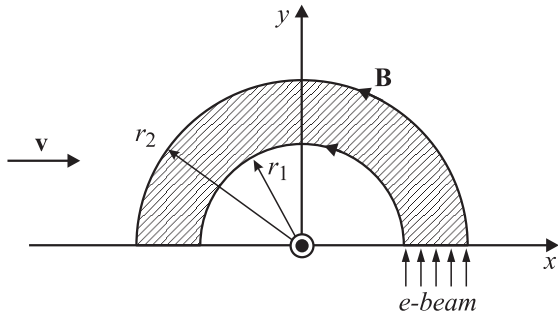
Подставив (14) в (15), получим следующее уравнение:

$$\left[ \sum_{k=1}^{\infty} \Psi_k(\varphi) \frac{dR_k}{dr} - \frac{v_x \cos \varphi + v_y \sin \varphi}{\mu_e} \left(1 + \beta_0^2 \frac{r_0^2}{r^2}\right) \right] \Bigg|_{r=r_1}^{r=r_2} = 0. \quad (16a)$$

Граничное условие  $j_\varphi = 0$ , согласно уравнениям (3), приводит к граничному условию для потенциала в виде  $\partial \Phi / \partial \varphi = 0$ , которое с использованием уравнения (14) принимает следующий вид:

$$\left[ \sum_{k=1}^{\infty} R_k(r) \frac{d\Psi_k}{d\varphi} + (v_x \sin \varphi - v_y \cos \varphi) \frac{r}{\mu_e} \right] \Bigg|_{\varphi=\varphi_1}^{\varphi=\varphi_2} = 0. \quad (16b)$$

В настоящей работе будем рассматривать плазменную область, ограниченную поверхностями:  $\varphi_1 = 0$ ,  $\varphi_2 = \pi$ , показанную на рис. 2. Данная область ионизации потока может быть реализована при использовании пучка электронов в качестве ионизатора [12]. Течение будем



**Рис. 2.** Геометрия локально ионизованной области, создаваемой электронным пучком в неоднородном магнитном поле, используемая при нахождении электрического потенциала в МГД-течении.

рассматривать в объеме, ограниченном снизу плоскостью  $y = 0$ . При этом, так как поверхности  $\varphi_1 = 0$  и  $\varphi_2 = \pi$  лежат в плоскости  $y = 0$ , ограничивающей поток, то компонента скорости  $v_y$  обращается в нуль на границах  $\varphi_1 = 0$  и  $\varphi_2 = \pi$ . Нетрудно показать, что решение уравнения (5), удовлетворяющее граничным условиям (16a) и (16b) принимает в этом случае следующий вид:

$$\Phi(r, \varphi) = \beta_0 r_0 E_z \ln\left(\frac{r}{r_0}\right) + \frac{v_x \cos \varphi + v_y \sin \varphi}{\mu_e} \times (C_1^1 Z_1(1, \beta_0 r_0/r) + C_2^1 Z_2(1, \beta_0 r_0/r) - r), \quad (17)$$

где коэффициенты  $C_1^1$  и  $C_2^1$  определяются следующими соотношениями:

$$C_1^1 = \frac{r_2 K_1(\beta_0 r_0/r_1) - r_1 K_1(\beta_0 r_0/r_2)}{I_1(\beta_0 r_0/r_1) K_1(\beta_0 r_0/r_2) - I_1(\beta_0 r_0/r_2) K_1(\beta_0 r_0/r_1)},$$

$$C_2^1 = \frac{r_1 I_1(\beta_0 r_0/r_2) - r_2 I_1(\beta_0 r_0/r_1)}{I_1(\beta_0 r_0/r_1) K_1(\beta_0 r_0/r_2) - I_1(\beta_0 r_0/r_2) K_1(\beta_0 r_0/r_1)}. \quad (18)$$

Таким образом, в данном разделе получено общее решение (14) для электрического потенциала в области МГД-течения в неоднородном магнитном поле, задаваемом уравнением (2), и получены аналитические выражения (17), (18) для распределения электрического потенциала в области локально ионизованной плазмы, границы которой задаются условиями:  $r_1 \leq r \leq r_2$ ,  $0 \leq \varphi \leq \pi$ .

### Анализ полученного решения. Расчет силы Лоренца, действующей на поток

Анализируя полученное решение (17), (18), нетрудно заметить, что при  $E_z = 0$  угол  $\varphi$  влияет только на абсолютную величину потенциала  $\Phi$ , но не влияет на характер зависимости потенциала от радиуса. Это позволяет ограничиться фиксированным значением угла  $\varphi$  при исследовании зависимости потенциала  $\Phi$  от радиуса.

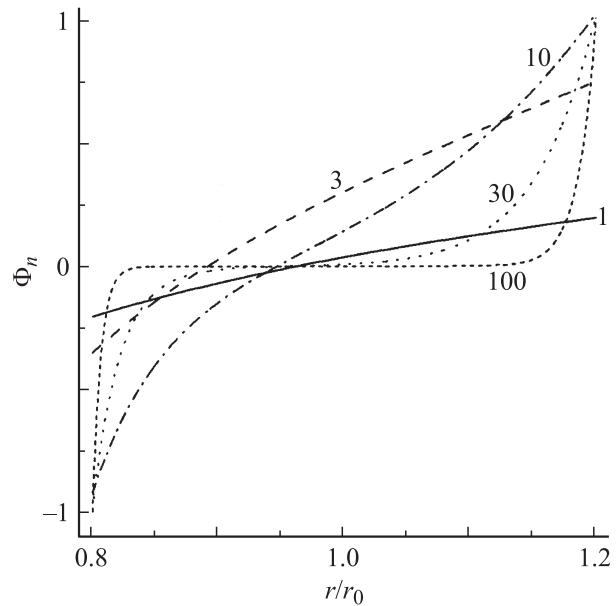
На рис. 3 приведены радиальные зависимости потенциала, рассчитанного по формулам (17), (18) в области МГД-взаимодействия  $r_1 \leq r \leq r_2$ ,  $0 \leq \varphi \leq \pi$  для разных значений параметра  $\beta_0$ , при  $\varphi = 0$ . Рассматривается простейшая ситуация плоскопараллельного течения с  $v_y = 0$  и  $v_x = v_0$  при нулевом значении поперечного электрического поля  $E_z = 0$ . Потенциал представлен в безразмерной форме, нормированный на величину  $v_0 r_0 / \mu_e$ :

$$\Phi_n = \frac{\Phi}{v_0 r_0 / \mu_e}.$$

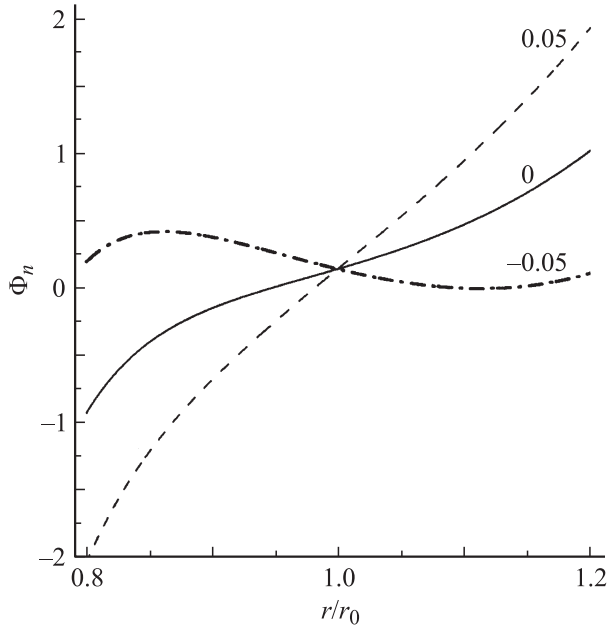
Из рис. 3 следует, что потенциал монотонно возрастает с увеличением радиуса. При значениях  $\beta_0 \leq 10$  нормированная разность потенциалов  $(\Phi_n(r_2) - \Phi_n(r_1))$  на границах  $r = r_1$ ,  $r = r_2$  области ионизованного потока заметно увеличивается с ростом параметра Холла. При дальнейшем увеличении параметра Холла данная разность потенциалов изменяется слабо, а поле становится сильно неоднородным, концентрируясь в окрестностях границ ионизованной области.

Наложение поперечного поля  $E_z$ , согласно рис. 4, сильно влияет на радиальное распределение потенциала в области ионизованного потока. Так, в частности, зависимость потенциала от радиуса становится немонотонной при отрицательном значении  $E_z$ .

Сила Лоренца, действующая на МГД-течение при заданном распределении магнитного поля, определяется величиной и направлением токов, протекающих в области МГД-взаимодействия с использованием соотношения:  $\mathbf{f} = \mathbf{j} \times \mathbf{B}$ , где  $\mathbf{f}$  — объемная плотность силы Лоренца. Подставив выражение для потенциала (17) в уравнение (3), получим следующие выражения для



**Рис. 3.** Радиальное распределение нормированного электрического потенциала для различных значений параметра Холла  $\beta_0$  при  $\varphi = 0$ ,  $E_z = 0$ ,  $r_1/r_0 = 0.8$ ,  $r_2/r_0 = 1.2$ . Величины  $\beta_0$  указаны у кривых.



**Рис. 4.** Радиальное распределение нормированного электрического потенциала для различных значений поля  $E_z$  при  $\varphi = 0$ ,  $\beta_0 = 10$ ,  $r_1/r_0 = 0.8$ ,  $r_2/r_0 = 1.2$ . Нормированные значения поля  $E_z/(B_0 v_0)$  указаны у кривых.

проекций плотности тока в ионизованной области:

$$j_z = \sigma E_z - \frac{\sigma B_0 r_0}{r^2} (v_x \cos \varphi + v_y \sin \varphi) \times \left( C_1^1 I_1 \left( \frac{\beta_0 r_0}{r} \right) + C_2^1 K_1 \left( \frac{\beta_0 r_0}{r} \right) \right),$$

$$j_r = \frac{\sigma B_0}{\beta_0 r} (v_x \cos \varphi + v_y \sin \varphi) \times \left( r + C_1^1 I_1 \left( \frac{\beta_0 r_0}{r} \right) + C_2^1 K_1 \left( \frac{\beta_0 r_0}{r} \right) \right),$$

$$j_\varphi = \frac{\sigma B_0 (v_x \sin \varphi - v_y \cos \varphi)}{\beta_0 r} \times (C_1^1 Z_1(1, \beta_0 r_0/r) + C_2^1 Z_2(1, \beta_0 r_0/r) - r). \quad (19)$$

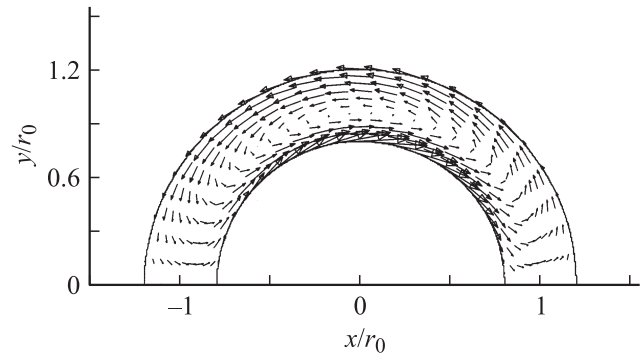
Распределение векторов плотности токов в области МГД-взаимодействия показано на рис. 5 при значении  $E_z = 0$ . Видно, что электрический ток в плоскости  $xu$  имеет вихревой характер. Наличие ненулевой радиальной компоненты плотности тока  $j_r$  при заданной конфигурации магнитного поля (2b) приводит к появлению ненулевой компоненты силы Лоренца, действующей вдоль оси  $oz$ , которая определяется соотношением  $f_z = j_r B_\varphi$ .

Наличие силы  $f_z$  может, в принципе, привести к изменению параметров течения вдоль оси  $oz$ . Рассматриваемое в статье двумерное приближение справедливо при выполнении неравенства  $f_z \ll f_r$ . При этом сила Лоренца, действующая в радиальном направлении,  $f_r$ , определяется следующим соотношением:  $f_r = -j_z B_\varphi$ .

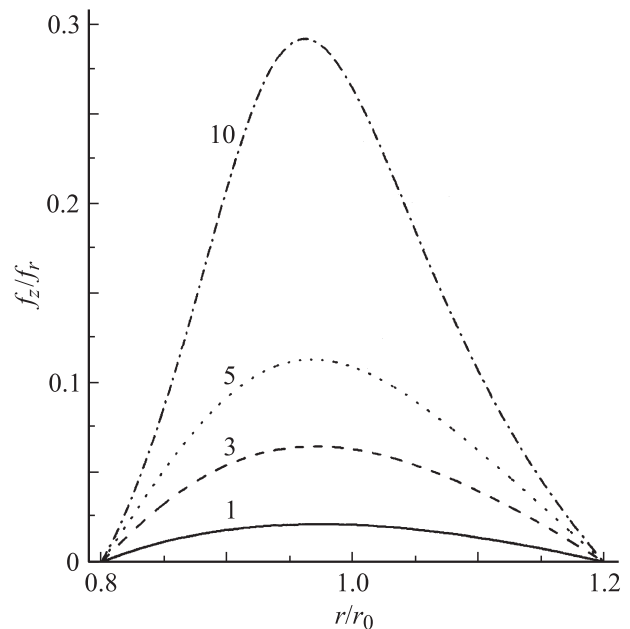
Таким образом, в рассматриваемой конфигурации  $f_z/f_r = -j_r/j_z$ , что с использованием уравнений (19) позволяет получить аналитическое выражение для отношения указанных проекций силы Лоренца. При  $E_z = 0$  данное отношение может быть представлено в следующем виде:

$$\frac{f_z}{f_r} = -\frac{r}{r_0 \beta_0} \left( 1 + r \left( C_1^1 I_1 \left( \frac{\beta_0 r_0}{r} \right) + C_2^1 K_1 \left( \frac{\beta_0 r_0}{r} \right) \right)^{-1} \right). \quad (20)$$

Радиальная зависимость отношения  $f_z/f_r$  представлена на рис. 6 для разных значений параметра Холла  $\beta_0$ . Согласно полученным результатам, максимальное значение величины  $f_z/f_r$  в диапазоне  $r_1 < r < r_2$ , растет с увеличением параметра Холла. На границах области  $r = r_1$  и  $r = r_2$  величина  $f_z/f_r$  обращается в нуль, что



**Рис. 5.** Векторное поле плотностей токов в плоскости  $xu$  при  $\beta_0 = 10$ ,  $E_z = 0$ ,  $r_1/r_0 = 0.8$ ,  $r_2/r_0 = 1.2$ ,  $v_x = v_0$ ,  $v_y = 0$ .



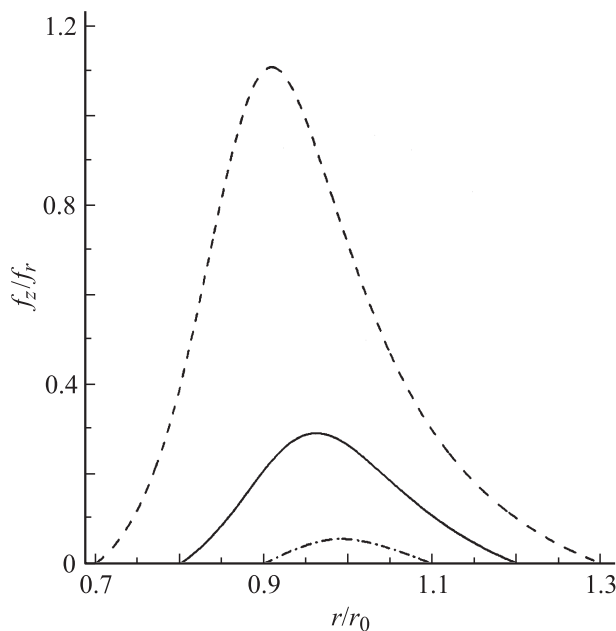
**Рис. 6.** Радиальное распределение отношения проекций  $f_z/f_r$  для различных значений параметра Холла  $\beta_0$  при  $E_z = 0$ ,  $r_1/r_0 = 0.8$ ,  $r_2/r_0 = 1.2$ . Величины  $\beta_0$  указаны у кривых.

обусловлено нулевым значением радиального тока на данных границах.

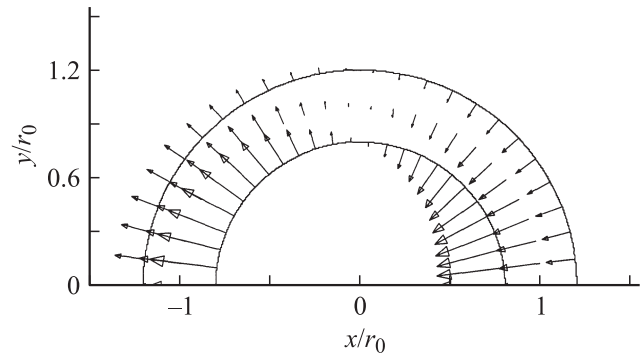
На рис. 7 представлены радиальные зависимости отношения  $f_z/f_r$  при различных значениях  $r_1$  и  $r_2$ . Согласно рис. 7, ширина области МГД-взаимодействия оказывает сильное влияние на максимальное значение  $f_z/f_r$ . Увеличение ширины области МГД-взаимодействия приводит к сильному росту отношения  $f_z/f_r$ , сужение данной области оказывает противоположное действие. Таким образом, при заданных значениях параметра Холла всегда можно выбрать такую ширину области МГД-взаимодействия, при которой неравенство  $f_z \ll f_r$  выполняется, и следовательно, процесс МГД-взаимодействия можно описывать в двумерном приближении.

На рис. 8–10 показаны векторные поля силы Лоренца, действующей на поток в плоскости  $xu$  при различных значениях электрического поля  $E_z$ . Видно, что во всех случаях проекция силы Лоренца на ось  $x$  будет направлена навстречу потоку и, следовательно, будет вызывать его торможение. Действие силы Лоренца в направлении оси  $y$  имеет более сложный характер. В области  $x < 0$  сила Лоренца в основном будет способствовать отходу потока от поверхности. И наоборот, при  $x > 0$  сила Лоренца в основном будет способствовать поджатию потока к поверхности.

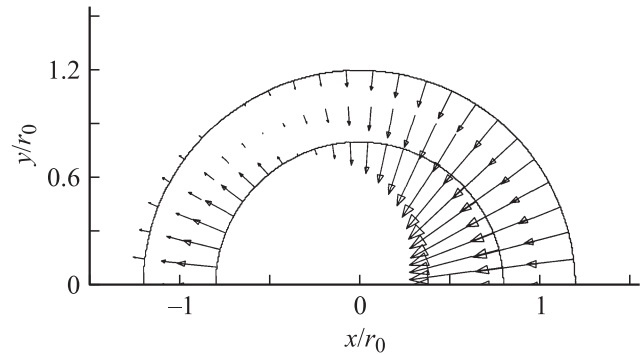
Изменение знака у поля  $E_z$ , согласно рис. 9, 10, существенно влияет на характер воздействия силы Лоренца на поток. Так, при положительных значениях  $E_z$  в интегральном воздействии силы Лоренца на поток будет



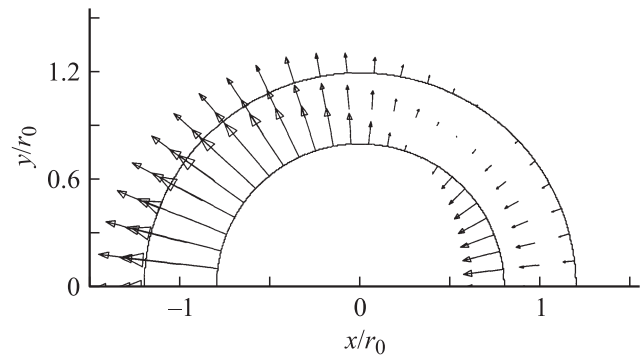
**Рис. 7.** Радиальное распределение отношения проекций  $f_z/f_r$  для различных геометрий областей ионизации потока при  $E_z = 0$ ,  $\beta_0 = 10$ . Пунктир  $r_1/r_0 = 0.7$ ,  $r_2/r_0 = 1.3$ , сплошная кривая  $r_1/r_0 = 0.8$ ,  $r_2/r_0 = 1.2$ , штрихпунктир  $r_1/r_0 = 0.9$ ,  $r_2/r_0 = 1.1$ .



**Рис. 8.** Векторное поле силы Лоренца при  $\beta_0 = 1$ ,  $E_z = 0$ ,  $r_1/r_0 = 0.8$ ,  $r_2/r_0 = 1.2$ ,  $v_x = v_0$ ,  $v_y = 0$ .



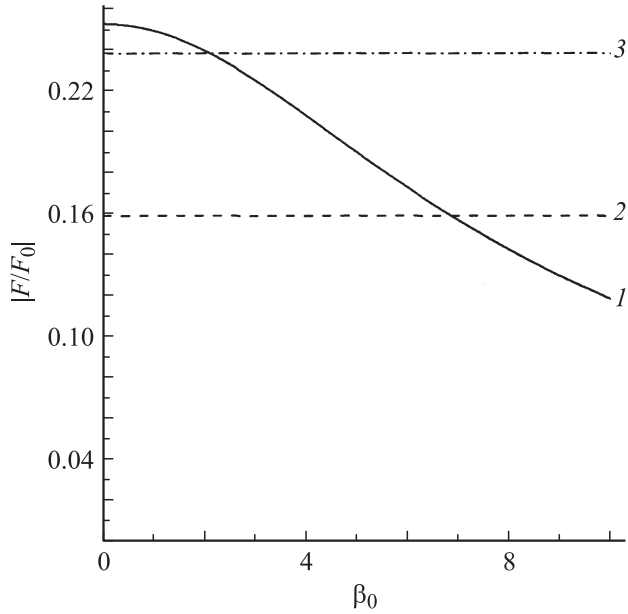
**Рис. 9.** Векторное поле силы Лоренца при  $\beta_0 = 1$ ,  $E_z/(B_0 v_0) = 0.5$ ,  $r_1/r_0 = 0.8$ ,  $r_2/r_0 = 1.2$ ,  $v_x = v_0$ ,  $v_y = 0$ .



**Рис. 10.** Векторное поле силы Лоренца при  $\beta_0 = 1$ ,  $E_z/(B_0 v_0) = -0.5$ ,  $r_1/r_0 = 0.8$ ,  $r_2/r_0 = 1.2$ ,  $v_x = v_0$ ,  $v_y = 0$ .

превалировать эффект поджатия потока к поверхности. При  $E_z < 0$ , наоборот, МГД-воздействие в основном будет способствовать отходу потока от поверхности. Получим выражения для суммарной силы Лоренца, действующей на поток в направлении осей  $x$  и  $y$ , проинтегрировав соответствующие объемные плотности силы Лоренца по области МГД-взаимодействия:

$$F_x = \int_{r_1}^{r_2} \int_0^\pi f_x(r, \varphi) r d\varphi dr, \quad F_y = \int_{r_1}^{r_2} \int_0^\pi f_y(r, \varphi) r d\varphi dr.$$



**Рис. 11.** Зависимости  $F_x$  (кривая 1) и  $F_y$  (2 и 3) проекций интегральной силы Лоренца, действующей на локально ионизированный поток при  $r_1/r_0 = 0.8$ ,  $r_2/r_0 = 1.2$ ,  $v_x = v_0$ ,  $v_y = 0$ ,  $E_z/(B_0v_0) = 0.5$  (2),  $E_z/(B_0v_0) = 0.75$  (3).

Ограничимся рассмотрением ситуации с  $v_x = v_0$ ,  $v_y = v_0$ . Используя соотношения  $f_x = -j_z B_y$ ,  $f_y = j_z B_x$  и выражения (2а), (18) соответственно для магнитного поля и плотности тока  $j_z$ , нетрудно показать, что

$$F_y = -2\sigma B_0 E_z r_0 (r_2 - r_1),$$

$$F_x = \frac{\pi\sigma B_0^2 v_0 r_0}{2\beta_0} \left[ C_1^1 \left( I_0 \left( \frac{\beta_0 r_0}{r_1} \right) - I_0 \left( \frac{\beta_0 r_0}{r_2} \right) \right) - C_2^1 \left( K_0 \left( \frac{\beta_0 r_0}{r_1} \right) - K_0 \left( \frac{\beta_0 r_0}{r_2} \right) \right) \right], \quad (21)$$

где коэффициенты  $C_1^1$  и  $C_2^1$  определяются соотношениями (18). Из полученных уравнений (21) видно, что при фиксированных геометрических параметрах и проводимости потока в области ионизации сила Лоренца  $F_x$  зависит от параметра Холла и не зависит от поля  $E_z$ . Проекция силы Лоренца, действующая в направлении оси  $y$  зависит от поля  $E_z$  и не зависит от параметра Холла. Направление действия силы  $F_y$  определяется направлением поля  $E_z$ . При  $E_z > 0$ , согласно (21),  $F_y < 0$ , следовательно, сила Лоренца будет прижимать поток к поверхности, что согласуется с результатами, представленными на рис. 9.

Расчеты по формулам (21) показывают, что  $F_x$  имеет отрицательное значение при любых параметрах задачи, т.е. сила Лоренца в рассматриваемой конфигурации МГД-взаимодействия всегда тормозит поток. Зависимости абсолютных значений проекций силы Лоренца  $F_x$  и  $F_y$  от параметра Холла представлены на рис. 11. Силы

представлены в безразмерном виде нормированные на величину  $F_0 = \sigma B_0^2 v_0 \pi (r_2^2 - r_1^2)$ . Проекция силы Лоренца  $F_y$ , в соответствии с уравнением (21), не зависит от параметра Холла, но зависит от величины  $E_z$ . Значение  $|F_x/F_0|$ , согласно рис. 11, монотонно убывает с ростом параметра Холла. Следовательно, с увеличением параметра Холла значение  $|F_x|$  может стать меньше  $|F_y|$ . Так, для  $E_z/(B_0v_0) = 0.5$  неравенство  $|F_y| > |F_x|$  выполняется при  $\beta_0 > 6.9$ . С увеличением  $|E_z|$  неравенство  $|F_y| > |F_x|$  выполняется начиная с меньших значений параметра Холла. При значении  $E_z/(B_0v_0) > 0.8$  в условиях, отвечающих рис. 11, величина проекции силы Лоренца, перпендикулярной обтекаемой поверхности, будет больше величины проекции силы Лоренца, тормозящей поток, для всех значений параметра Холла.

Таким образом, МГД-взаимодействие на локально ионизированный поток в неоднородном магнитном поле может быть использовано для управления как подъемной силой, так и отношением подъемной силы к силе сопротивления. Отметим, что при значительном уровне МГД-взаимодействия, приводящего к заметному изменению скоростей в потоке, использование формул (21) для расчета интегральных сил некорректно. В этом случае для расчета интегрального силового воздействия на поток необходимо использовать результаты численного моделирования МГД-течения.

## Заключение

В заключение перечислим основные результаты работы. Получено общее решение электродинамических уравнений для электрического потенциала МГД-течения в неоднородном магнитном поле, создаваемом прямолинейным проводником, получены аналитические выражения для распределения электрического потенциала в области локально ионизированной плазмы, границы которой задаются условиями  $r_1 \leq r \leq r_2$ ,  $0 \leq \varphi \leq \pi$ .

Получены аналитические формулы для расчета объемной плотности силы Лоренца и интегральной силы Лоренца, действующей на поток. Показано, что МГД-воздействие на локально ионизированный поток в неоднородном магнитном поле может быть использовано для управления как подъемной силой, так и отношением подъемной силы к силе сопротивления.

Полученные аналитические результаты позволяют проанализировать особенности МГД-воздействия на локально ионизированный поток в неоднородном магнитном поле и провести простые оценки МГД-воздействия на поток при различных параметрах течения. Также полученные результаты могут быть использованы при численных расчетах МГД-течения в неоднородном магнитном поле.

## Список литературы

- [1] Фрайштадт В.Л., Куранов А.Л., Шейкин Е.Г. // ЖТФ. 1998. Т. 68. Вып. 11. С. 43–47.
- [2] Korchenov V.I., Vatazhin A.B., Gousskov O.V. // 9<sup>th</sup> Int. Space Planes and Hypersonic Systems and Technologies Conf. Norfolk, 1999. AIAA Paper 99–4971.
- [3] Головачев Ю.П., Суцких С.Ю. // ЖТФ. 2000. Т. 70. Вып. 2. С. 28–33.
- [4] Macheret S.O., Shneider M.N., Miles R.B. // 39<sup>th</sup> AIAA Aerospace Science Meeting and Exhibit. Reno, 2001. AIAA Paper 2001–0492.
- [5] Biturin V., Bocharov A., Baranov D., Leonov S. // 40<sup>th</sup> AIAA Aerospace Science Meeting and Exhibit. Reno, 2002. AIAA Paper 2002–0492.
- [6] Kuranov A.L., Sheikin E.G. // J. Spacecraft and Rockets. 2003. Vol. 40. N 2. P. 174–182.
- [7] Gaitonde D. // 41<sup>st</sup> AIAA Aerospace Science Meeting and Exhibit. Reno, 2003. AIAA Paper 2003–0172.
- [8] Macheret S.O., Shneider M.N., Miles R.B. // 34<sup>th</sup> AIAA Plasmadynamics and Lasers Conf. Orlando, 2003. AIAA Paper 2003–3763.
- [9] Битюрин В.А., Ватажин А.Б., Гуськов О.В., Коченов В.И. // ТВТ. 2004. Т. 42. № 5. С. 745–752.
- [10] Taylor R., Riggins D.W. // 42<sup>nd</sup> Aerospace Sciences Meeting and Exhibit. Reno, 2004. AIAA Paper 2004–0859.
- [11] Васильева Р.В., Ерофеев А.В., Лапушкина Т.А., Поняев С.А., Бобашев С.В., Ван-Ви Д. // ЖТФ. 2005. Т. 75. Вып. 9. С. 27–33.
- [12] Sheikin E.G., Kuranov A.L. // AIAA/CIRA 13<sup>th</sup> Int. Space Planes and Hypersonic Systems and Technologies Conf. Capua, 2005. AIAA Paper 2005–3223.
- [13] Adamovich I., Nishihara M. // 44<sup>th</sup> Aerospace Sciences Meeting and Exhibit. Reno, 2006. AIAA Paper 2006–1004.
- [14] Biturin V., Bocharov A., Baranov D. // 44<sup>th</sup> Aerospace Sciences Meeting and Exhibit. Reno, 2006. AIAA Paper 2006–1008.
- [15] Biturin V.A., Bocharov A.N. // Fluid Dynamics. 2006. Vol. 41. N 5. P. 843–856.
- [16] Sheikin E.G. // 45<sup>th</sup> Aerospace Sciences Meeting and Exhibit. Reno, 2007. AIAA Paper 2007–1379.
- [17] Шейкин Е.Г. // ЖТФ. 2007. Т. 77. Вып. 5. С. 1–9.
- [18] Sheikin E.G., Kuranov A.L. // 44<sup>th</sup> Aerospace Sciences Meeting and Exhibit. Reno, 2006. AIAA Paper 2006–1372.
- [19] Sheikin E.G. // 46<sup>th</sup> Aerospace Sciences Meeting and Exhibit. Reno, 2008. AIAA Paper 2008–1391.
- [20] Бреев В.В., Губарев А.В., Панченко В.П. Сверхзвуковые МГД-генераторы. М.: Энергоатомиздат, 1988. 240 с.
- [21] Янке Е., Эмде Ф., Лёш Ф. Специальные функции. М.: Наука, 1977. 344 с.